УДК 621.22

Д. А. Лозинский, к. т. н.; Л. Г. Козлов, к. т. н., доц.; Е. И. Шевчук СРАВНИТЕЛЬНЫЕ ИССЛЕДОВАНИЯ ВАРИАНТОВ ПЕРВОГО КАСКАДА ПРОПОРЦИОНАЛЬНОГО ЭЛЕКТРОГИДРАВЛИЧЕСКОГО РАСПРЕДЕЛИТЕЛЯ

Предложены два варианта первого каскада распределителя: на основе клапанного и золотникового распределительных элементов. Разработаны математические модели вариантов первого каскада и проведены сравнительные исследования их характеристик. На основе сравнительных переходных процессов и статических характеристик установлено преимущество первого каскада с клапанным распределительным элементом.

Ключевые слова: электрогидравлический распределитель, первый каскад, математическая модель, быстродействие, гистерезис.

Введение

В современных мобильных машинах наблюдаем тенденцию перехода к гидроприводам (ГП) на базе пропорциональных электрогидравлических распределителей. Рабочие нагрузки таких машин предопределяют большие рабочие давления в ГП и нуждаются в оперировании значительными потоками [1, 2].

Такие условия являются основным фактором изготовления конструкции электрогидравлических распределителей в несколько каскадов, что позволяет перемещать золотник даже при значительных рабочих потоках, используя пропорциональные электромагниты с небольшим ходом якоря $(2 \cdot 10^{-3} \text{ м} - 4 \cdot 10^{-3} \text{ м})$ и тяговым усилием до 100 H [1, 3].

Статические и динамические характеристики электрогидравлических распределителей в значительной степени зависят от первого каскада и качества его работы [1, 3, 4].

Основные варианты конструкций первого каскада различают по типу запорнорегулирующего элемента: «сопло-заслонка», струйная трубка, клапанные, золотниковые и др. [1-5].

В ГП мобильных машин наибольшего распространения приобрели распределители с первым каскадом на основе клапанных и золотниковых распределительных элементов [1 — 6]. **Целью работы** является исследование и сравнение характеристик двух предложенных вариантов первого каскада пропорциональных электрогидравлических распределителей для мобильных машин, указанных выше.

Расчетная схема первого каскада пропорционального электрогидравлического распределителя на основе клапанного распределительного элемента представлена на рис. 1 [7].

Основные ее элементы — это линия нагнетания 1, линия слива 2, золотник второго каскада 3, подпираемый пружиной 4, клапан первого каскада 5 с пропорциональным электромагнитом 6 и др. [7]. Поток, нагнетаемый к линиям питания первого каскада проходит через дроссель 7 и разделяется на два потока, один из которых попадает через клапан первого каскада 5 и через дроссель f_3 к сливу (Q_{sl}) , а другой проходит через дроссель 8 и действует на торец золотника второго каскада 3 (Q_l) . Величина открытия рабочего окна первого каскада пропорциональна перемещению клапана 9, который управляется пропорциональным электромагнитом 6. Регулируя проводимость рабочего окна первого каскада 5, можно пропорционально изменять величину потока Q_l , а следовательно, и величину перемещения золотника второго каскада 3.

Расчетная схема предложенного первого каскада пропорционального электрогидравлического распределителя на основе золотникового распределительного элемента представлена на рис. 1 [8]. Основные ее элементы — это линия нагнетания 1, линии

слива 2, золотник второго каскада 3, который подпирается пружиной 4, а также сервоэлемент 5.

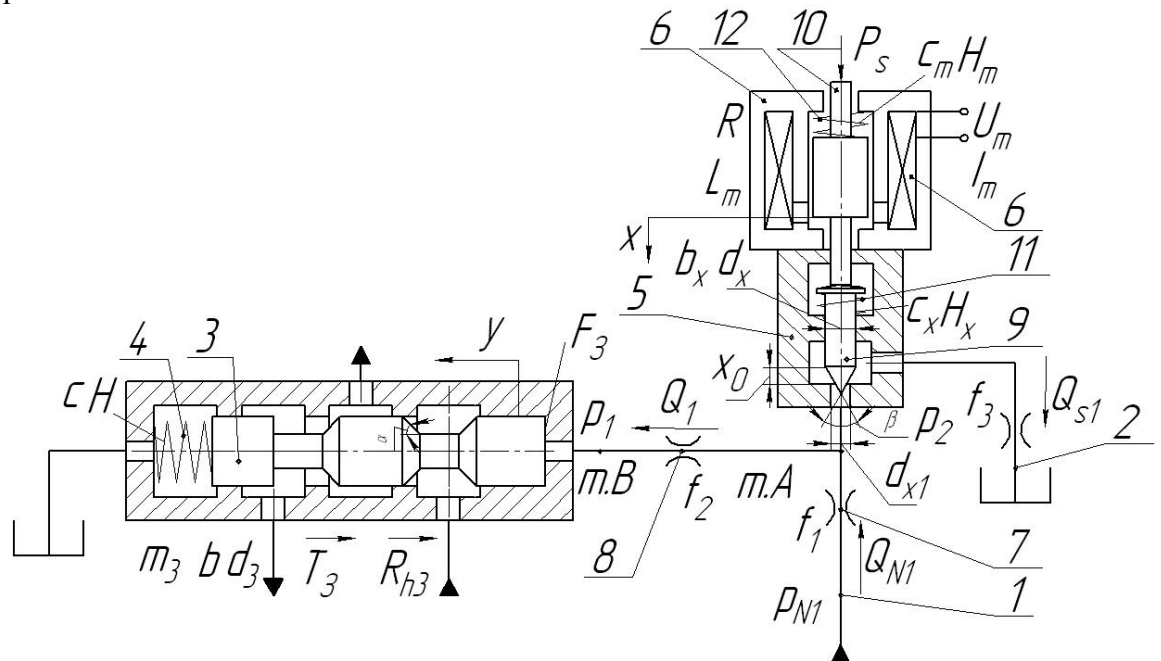


Рис. 1. Расчетная схема первого каскада пропорционального электрогидравлического распределителя на основе клапанного распределительного элемента

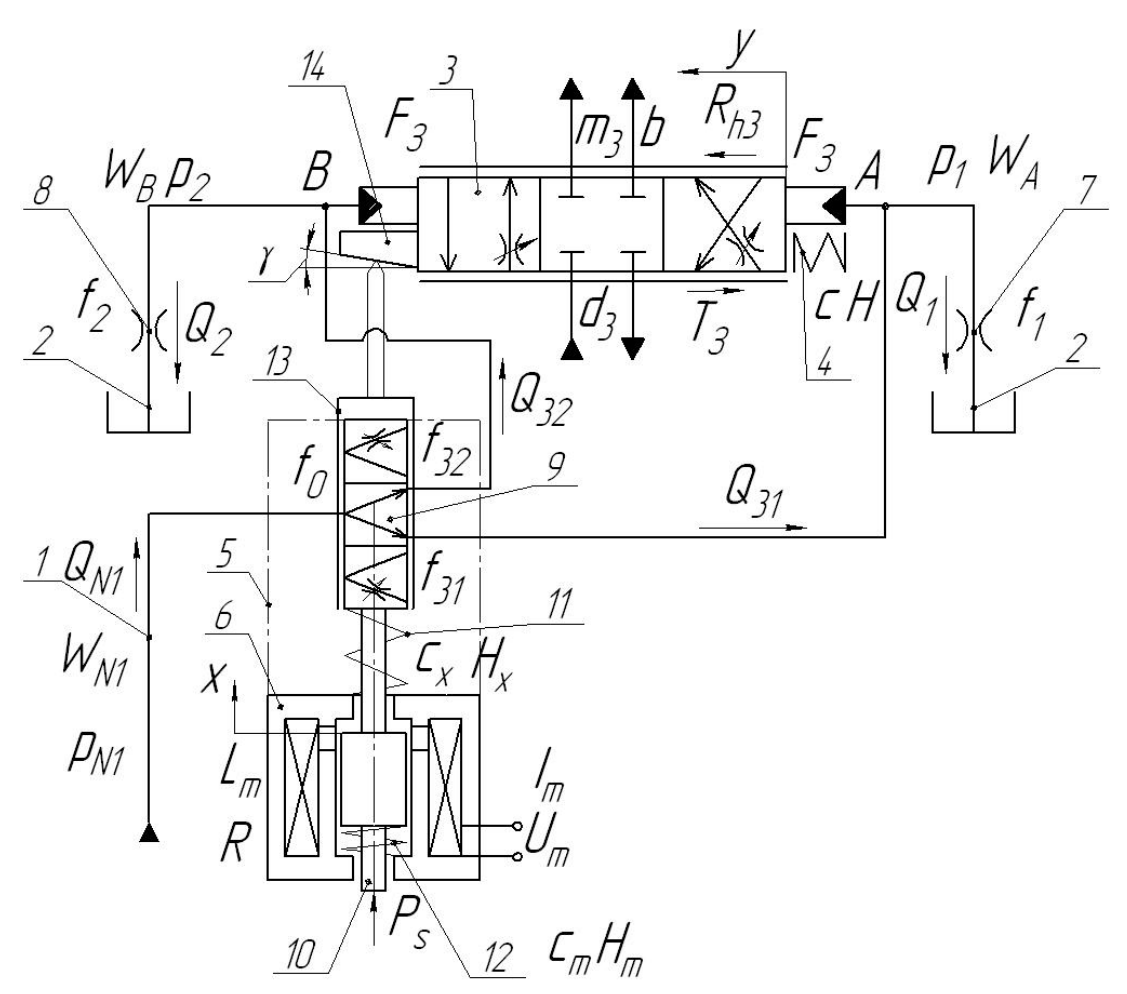


Рис. 2. Расчетная схема первого каскада распределителя на основе золотникового распределительного элемента

 гильзой 3. Работа данного каскада организована следующим образом: при подаче сигнала от электромагнита 6 шток 10, двигаясь под действием магнитодвижущей силы, перемещает золотник первого каскада 9, изменяя величины открытия рабочих окон, при этом изменяется соотношение между величинами давлений p_1 и p_2 , под действием которых золотник второго каскада 3 перемещается в сторону меньшего давления пропорционально величине сигнала, поступающего от электромагнита.

Особенностью данного первого каскада является наличие датчика обратной связи (ДОС), который конструктивно выполнен в виде конуса 14 с углом наклона γ , размещенного на золотнике второго каскада 3. Благодаря контакту с вершиной гильзы 13, которая, перемещаясь, регулирует площади открытия рабочих окон сервоэлемента 5, конус 14 выполняет следящую функцию, корректируя величины потоков Q_{31} и Q_{32} , в зависимости от перемещения золотника второго каскада 3 (рис. 2).

Для исследования и сравнения рассмотренных вариантов первого каскада были построены их математические модели (1) (2), решение которых выполнялось в программе MatLab Simuliuk [7-9].

$$\frac{di}{dt} = \frac{1}{T_{L}} \left(\frac{U_{y} - K_{E} \cdot \frac{dx}{dt}}{R} - i \right);$$

$$P_{S} = K_{F_{1}} \cdot i;$$

$$m_{x} \frac{d^{2}x}{dt^{2}} = P_{S} - p_{2} \cdot F_{x} - c_{x} \cdot (H_{x} + x) - c_{m} \cdot (H_{m} + x) - b_{x} \frac{dx}{dt} - T_{x} \cdot \operatorname{sgn} \frac{dx}{dt};$$

$$m_{3} \frac{dV_{y}}{dt} = p_{1} \cdot F_{3} - c \cdot (H + y) - b \frac{dy}{dt} - T \cdot \operatorname{sgn} \frac{dy}{dt} - R_{h3};$$

$$\mu \cdot f_{2} \cdot \sqrt{\frac{2 \cdot |p_{2} - p_{1}|}{\rho}} \cdot \operatorname{sgn}(p_{2} - p_{1}) = F_{3} \cdot \frac{dy}{dt} + \beta \cdot W_{B} \cdot \frac{dp_{1}}{dt};$$

$$\mu \cdot f_{1} \cdot \sqrt{\frac{2 \cdot |p_{N1} - p_{2}|}{\rho}} \cdot \operatorname{sgn}(p_{N1} - p_{2}) = \mu \cdot f_{2} \cdot \sqrt{\frac{2 \cdot |p_{2} - p_{1}|}{\rho}} \cdot \operatorname{sgn}(p_{2} - p_{1}) +$$

$$+ \mu \cdot \left[\frac{\pi}{2} \cdot ((x_{0} - x) \cdot \sin \beta_{1} + 2 \cdot d_{S1}) \cdot (x_{0} - x) \cdot \sin \frac{\beta}{2} \right] \cdot \sqrt{\frac{2 \cdot p_{2}}{\rho}} + \beta \cdot W_{A} \cdot \frac{dp_{2}}{dt}.$$

$$\begin{split} & \frac{di}{dt} = \frac{1}{T_L} \left(\frac{U_y - K_E \cdot \frac{dx}{dt}}{R} - i \right); \\ & P_S = K_{F_i} \cdot i; \\ & m_x \frac{d^2x}{dt^2} = P_S - p_2 \cdot F_x - c_x \cdot (H_x + x) - c_m \cdot (H_m + x) - b_x \frac{dx}{dt} - T_x \cdot \operatorname{sgn} \frac{dx}{dt}; \\ & Q_{N1} = \mu \cdot \left[\pi \cdot d_x \cdot (x - y \cdot tg\gamma) \cdot \sin\alpha + f_0 \right] \cdot \sqrt{\frac{2 \cdot \left| p_{N1} - p_1 \right|}{\rho}} \cdot \operatorname{sgn}(p_{N1} - p_1) + \beta \cdot W_N \cdot \frac{dp_{N1}}{dt} + \\ & + \mu \cdot \left[-d_x \cdot \pi \cdot (x - y \cdot tg\gamma) \cdot \sin\alpha + f_0 \right] \cdot \sqrt{\frac{2 \cdot \left| p_{N1} - p_1 \right|}{\rho}} \cdot \operatorname{sgn}(p_{N1} - p_2); \end{aligned} \tag{2} \\ & \mu \cdot \left[\pi \cdot d_x \cdot (x - y \cdot tg\gamma) \cdot \sin\alpha + f_0 \right] \cdot \sqrt{\frac{2 \cdot \left| p_{N1} - p_1 \right|}{\rho}} \cdot \operatorname{sgn}(p_{N1} - p_1) = \mu \cdot f_1 \cdot \sqrt{\frac{2 \cdot p_1}{\rho}} + \beta \cdot W_A \cdot \frac{dp_1}{dt}; \\ & \mu \cdot \left[-d_x \cdot \pi \cdot (x - y \cdot tg\gamma) \cdot \sin\alpha + f_0 \right] \cdot \sqrt{\frac{2 \cdot \left| p_{N1} - p_1 \right|}{\rho}} \cdot \operatorname{sgn}(p_{N1} - p_2) = \mu \cdot f_2 \cdot \sqrt{\frac{2 \cdot p_2}{\rho}} + \beta \cdot W_B \cdot \frac{dp_2}{dt}; \\ & m_3 \frac{dV_y}{dt} = p_1 \cdot F - p_2 \cdot F - c \cdot (H + y) - b \frac{dy}{dt} - T \cdot \operatorname{sgn} \frac{dy}{dt}. \end{split}$$

Математические модели составлены с такими основными допущениями и упрощениями: величина давления в гидролинии питания первого каскада принималась постоянной [1, 5]; рассматривались сосредоточенные параметры; волновые процессы не учитывались [1, 5]; коэффициенты расхода через дроссельные и золотниковые элементы принимались постоянными; объемы гидролиний за время переходного процесса не изменялись; потери давления в гидролиниях не учитывались; коэффициент податливости рабочей жидкости учитывался как величина независимая от давления;

В математических моделях обозначено:

 U_{m} – величина напряжения управления; p_{NI} – давление в линии нагнетания; p_{I} – давление управления золотником второго каскада (рис. 1); p_2 – давление, которое формируется клапаном первого каскада 9 (для рис. 1, для рис. 2 p_1 и p_2 – давления управления золотником второго каскада 3); $K_{\scriptscriptstyle E}$ – коэффициент противо-ЭДС; $L_{\scriptscriptstyle m}$ – индуктивность обмоток электромагнита; R – активное сопротивление обмотки электромагнита; I_m величина тока управления; P_s – толкающее усилие электромагнита; $K_{{\scriptscriptstyle Fi}}$ – коэффициент, который учитывает зависимость толкающего усилия электромагнита от силы тока управления; f_0 – площадь начального открытия рабочих окон сервоэлемента 5; f_1 , f_2 – площади рабочих окон дросселей 7 и 8 (в дальнейшем для варианта первого каскада на основе клапанного распределительного элемента, для удобства, будем использовать f_2 и $k_f = \frac{f_1}{f_2} \ge I$); W_A и W_B – коэффициент соотношения площадей дроссельных элементов объемы жидкости в точках A и B; W_N – объем жидкости в линии нагнетания (рис. 2); F – площадь торца золотника 5; F_X – площадь элемента первого каскада 9, на которую

воздействует давление жидкости; c, c_x , c_m – жесткость пружин 4, 11, 12; H, H_x , H_m –

начальное сжатие пружин 4, 11, 12; m_3 , m_X — масса золотника 3 и клапана (золотника) 9; d_3 , d_X , d_{XI} — диаметры золотника 3, клапана (золотника) 9 и входного канала клапана первого каскада 5; y и V_y — координата положения и скорость золотника 3; x и V_x — координата положения и скорость клапана 9; x_0 — начальная координата положения клапана (золотника) 9; T_3 , T_X — силы трения, что воздействуют на золотник 3 и клапан (золотник) 9; α — угол наклона рабочей кромки клапана 3; ρ — плотность рабочей жидкости; μ — коэффициент расхода; β — коэффициент, который учитывает суммарную деформацию рабочей жидкости и резиновометаллических рукавов.

Основное внимание во время исследования уделялось характеристикам перемещения золотника второго каскада, который будет управлять основными потоками в распределителе, а именно: плавности хода, отсутствию колебаний, величине гистерезиса, которые могут ухудшить качество движения рабочего органа ГП.

На основе результатов математического моделирования определено, что движение золотника второго каскада y(t) для варианта первого каскада на основе клапанного распределительного элемента сопровождается колебаниями незначительной амплитуды (рис. 3), движение золотника второго каскада y(t) при управлении другим вариантом первого каскада сопровождается колебаниями большей амплитуды (рис. 4). Значение гистерезиса характеристики y(u) для варианта первого каскада на основе клапанного распределительного элемента составляет — 5,7% (рис. 5), что несколько меньше по сравнению с другим вариантом — 9,5% (рис. 6).

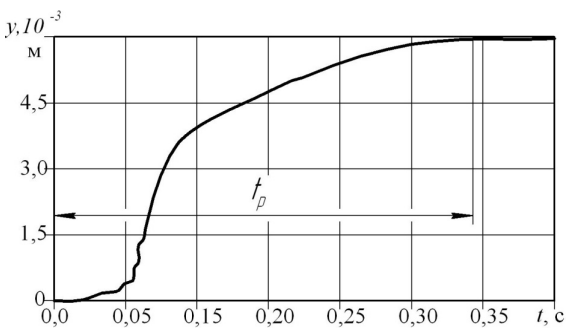


Рис. 3. Зависимость y(t) для первого каскада на основе клапанного распределительного элемента

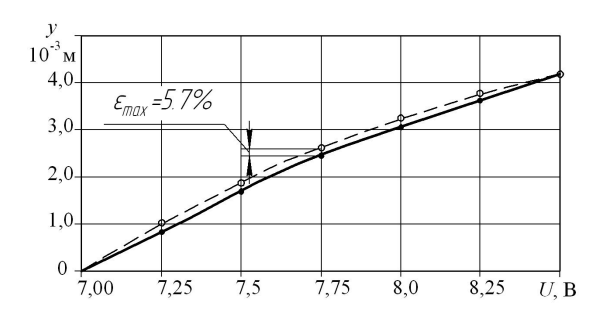


Рис. 5. Зависимость координаты перемещения золотника второго каскада у от напряжения на электромагните у(u) для первого каскада на основе клапанного распределительного элемента (основная линия — прямой ход, штриховая — обратный ход)

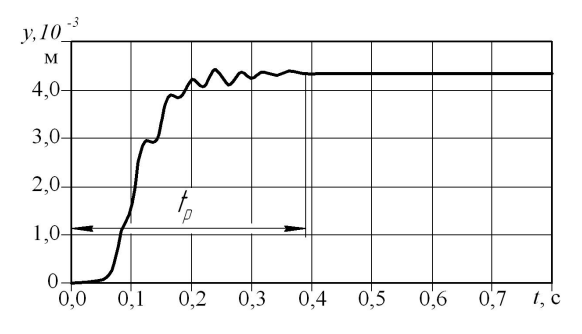


Рис. 4. Зависимость y(t) для первого каскада на основе золотникового распределительного элемента

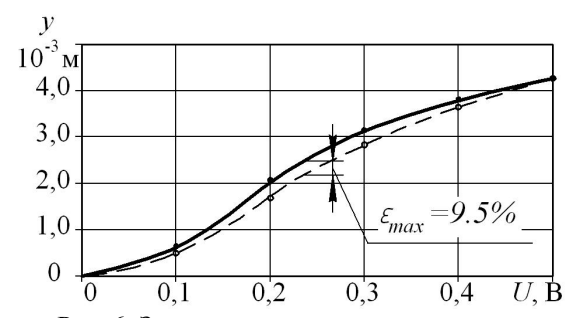


Рис. 6. Зависимость координат перемещения золотника второго каскада у от напряжения на электромагните у(u) для первого каскада на основе золотникового распределительного элемента (основная линия – прямой ход, штриховая – обратный ход)

Достичь улучшения характеристики y(t) для обоих вариантов первого каскада возможно за счёт рационального выбора конструктивных параметров или оптимизации, что подробнее

представлено в работах [1, 7, 8] (рис. 7).

На основе сравнения переходных процессов в первом каскаде при рациональных конструктивных параметрах можно сделать вывод, что первый каскад на основе клапанного распределительного элемента (рис. 2, 8) имеет лучшие динамические характеристики (более низкую колебательность и время регулирования), меньший гистерезис зависимости y(u) – 5,7% и лучшую скорость срабатывания — 0,22 с (определено по переходным процессам перемещения золотника второго каскада для обоих вариантов (рис. 7)).

Данный вариант принят за основу для создания пропорционального электрогидравлического распределителя с независимым управлением потоков.

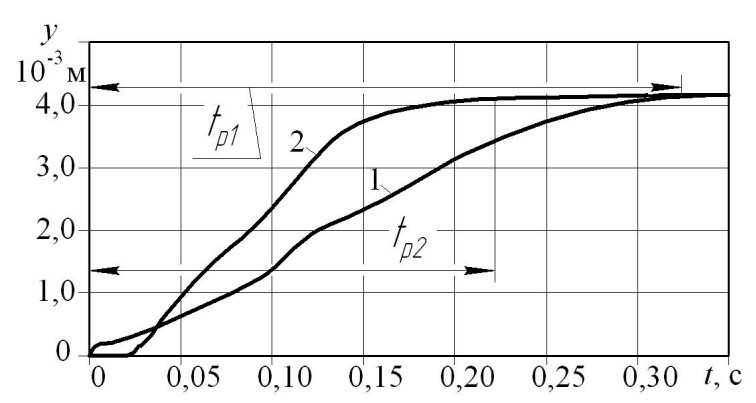


Рис. 7. Зависимость перемещения золотника второго каскада от времени: 1 — вариант первого каскада на основе золотникового распределительного элемента, 2 — вариант первого каскада на основе клапанного распределительного элемента

Выводы

Предложены два варианта первого каскада распределителя (на основе клапанного и золотникового распределительных элементов).

Разработаны математические модели вариантов первого каскада и проведены сравнительные исследования их характеристик, в результате которых избран первый каскад распределителя на основе клапанного распределительного элемента, поскольку данный вариант более быстродействующий (время регулирования $t_p = 0.22$ с), имеет меньший гистерезис y(u) - 5.7% и улучшенные динамические характеристики (более низкую колебательность зависимости y(t)).

СПИСОК ЛИТЕРАТУРЫ

- 1. Лозінський Д. О. Пропорційний електрогідравлічний розподільник з незалежним керуванням потоків для мобільних машин: дис. ...канд. тех. наук: 05.02.02 / Лозінський Дмитро Олександрович. Вінниця, 2010. 219 с.
- 2. Абрамов Е. И. Элементы гидропривода: справочник / Е. И. Абрамов, К. А. Колесниченко, В. Т. Маслов. К: Техніка, 1977. 320 с.
- 3. Гойдо М. Е. Гидроаппаратура с пропорциональным электрическим управленим: Учебное пособие. 2-е изд., пер раб. и доп. / М. Е. Гойдо. Челябинск: ЮУрГУ, 2000. 140 с.
- 4. Лещенко В. А. Гидравлические следящие приводы приводы станков с програмным управленим / В. А. Лещенко. М.: Машиностроение, 1975. 288 с.
- 5. Разинцев В. И. Электрогидравлические усилители мощности / В. И. Разинцев. М.: Машиностроение, $1980.-120~\mathrm{c}.$
- 5. Гамынин Н. С. Гидравлический привод систем управления / Н. С. Гамынин. М: Машиностроение, 1972. 376 с.
- 6. Каталог HP Hydrapac [Електронний ресурс] // Режим доступу: http://www.hydrapac.com/netcat files/File/catalog hp.pdf.
- 7. Дослідження системи керування пропорційним електрогідравлічним розподільником [Електронний ресурс] / Д. О. Лозінський, Л. Г. Козлов, М. М. Лозінська, В. О. Сенченко, Є. І. Шевчук // Наукові праці Вінницького національного технічного університету.— № 2. 2011. Режим доступу до журн.: http://www.nbuv.gov.ua/e-journals/VNTU/2011 2/2011-2.files/uk/11dolped ua.pdf.

- 8. Бурєнніков Ю. А. Оптимізація системи управління розподільником з електрогідравлічним регулюванням / Ю.А. Бурєнніков, Л.Г. Козлов, Д.О. Лозінський // Вісник Вінницького політехнічного інституту. 2005. № 6.— С. 225 229.
- 9. Черных И. В. Simulink: среда создания инженерных приложений / И. В. Черных. Диалог-МИФИ, 2004.— 496 с.

Лозинский Дмитрий Александрович – к. т. н., старший преподаватель кафедры технологии и автоматизации машиностроения, Lozinskiy dmitriy@ukr.net.

Козлов Леонид Геннадиевич — к. т. н., профессор кафедры технологии и автоматизации машиностроения, ftakm@inmt.vstu.vinnica.ua.

Шевчук Евгений Игоревич — магистр кафедры технологии и автоматизации машиностроения, Shevae_111@mail.ru.

Винницкий национальный технический университет.